

آنالیز توالی نوکلئوتیدی ژن ریبونوکلئاز پانکراتیک (RNase A) در گوسفندان نژاد بلوچی و وحشی اوریال

Nucleotide sequence analysis of pancreatic ribonuclease (RNase A) gene in Baluchi and Urial wild sheep

محمد رضا نصیری^{۱*}، علی جوادمنش^۲، فرشته اشرفی^۳، علی فروهرمehr^۰، محمد دوستی^۴، حمید آریان نژاد^۴

۱- استاد، گروه علوم دامی، دانشکده کشاورزی، دانشگاه فردوسی مشهد

۲- گروه تحقیقاتی پروتئین های نوترکیب، پژوهشکده فناوری زیستی، دانشگاه فردوسی مشهد

۳- استادیار، گروه علوم دامی، دانشکده کشاورزی، دانشگاه فردوسی مشهد

۴- دانش آموخته دکتری، گروه علوم دامی، دانشکده کشاورزی، دانشگاه فردوسی مشهد

۵- استادیار، گروه علوم دامی، دانشکده کشاورزی، دانشگاه لرستان

Nassiri M^{*1,2}, Javadmanesh A^{2,3}, Ashrafi F⁴, Forouharmehr A⁵, Doosti M⁴,
Ariannejad H⁴

1- Professor, Department of Animal Science, Faculty of Agriculture, Ferdowsi University of Mashhad, Mashhad, Iran

2- Recombinant proteins research group, The Research Institute of Biotechnology, Ferdowsi University of Mashhad, Mashhad, Iran

3- Assistant Professor, Department of Animal Science, Faculty of Agriculture, Ferdowsi University of Mashhad, Mashhad, Iran

4- Graduated PhD student, Department of Animal Science, Faculty of Agriculture, Ferdowsi University of Mashhad, Mashhad, Iran

5- Assistant Professor, Department of Animal Science, Faculty of Agriculture, Lorestan University, Khorramabad. Iran

* نویسنده مسئول مکاتبات، پست الکترونیکی: nassiryr@um.ac.ir

(تاریخ دریافت: ۹۸/۰۶/۲۹ - تاریخ پذیرش: ۹۹/۰۶/۰۲)

چکیده

مطالعه حاضر با هدف بررسی تنوع نوکلئوتیدی و آنالیز فیلوجنیکی ژن ریبونوکلئاز پانکراتیکی در دو گونه متفاوت، گوسفند نژاد بلوچی و گوسفند وحشی اوریال انجام گرفت. نمونه خون گوسفند نژاد بلوچی از مرکز اصلاح نژاد عباس آباد مشهد و نمونه خون گوسفند وحشی اوریال از اداره محیط زیست استان خراسان رضوی جمع آوری شد. قطعه ژنی طولانی ۴۳۴۷ جفت بازی ژن ریبونوکلئاز پانکراتیکی با استفاده از ۷ جفت پرایمر که به صورت هم پوشان طراحی شده بودند، تکثیر و توالی باشد. نتایج مقایسه توالی ژن ریبونوکلئاز پانکراتیک ۴۳۴۷ جفت بازی به دست آمده از هر دو گونه گوسفند نژاد بلوچی و گوسفند وحشی اوریال، ۱۰ تفاوت نوکلئوتیدی را با میزان تشابه ۹۹/۷۸ درصد نشان داد. همچنین نتایج مقایسه توالی ژن ریبونوکلئاز پانکراتیکی مرتع گوسفند (نژاد رامبوییه) با شماره دسترسی XM_004010384 با گوسفند وحشی اوریال ۱۸ تفاوت نوکلئوتیدی با میزان تشابه ۹۹/۶۱ درصد و با گوسفند نژاد بلوچی ۱۰ تفاوت نوکلئوتیدی با میزان تشابه ۹۹/۷۸ درصد را نشان دادند. نتایج مطالعه حاضر تائید می کند، اگرچه توالی کد کننده آنزیم ریبونوکلئاز پانکراتیکی دو گونه بلوچی و اوریال و توالی ژن مرتع در پایگاه داده NCBI کاملاً با یکدیگر مشابه هستند، اما توالی های نوکلئوتیدی بالادستی و پایین دستی این ژن دارای ۱۰ تفاوت نوکلئوتیدی با یکدیگر و دارای ۱۸ تفاوت نوکلئوتیدی با توالی ژن مرتع می باشند. نتایج حاصل از ماتریس فواصل ژنتیکی و درخت فیلوجنیک توالی های مربوط به گوسفند نژاد بلوچی و گوسفند وحشی اوریال بدست آمده در این مطالعه با سایر توالی های ثبت شده از ژن ریبونوکلئاز پانکراتیکی در پایگاه داده NCBI تائید می کند که هر دو گونه گوسفند نژاد بلوچی و گوسفند وحشی اوریال با توالی ثبت شده برای ژنوم مرتع گوسفند و همراه توالی ژنی ریبونوکلئاز پانکراتیک ثبت شده برای گونه بزر در یک کلاد قرار گرفته اند.

واژه های کلیدی

آنزیم ریبونوکلئاز پانکراتیک RNaseA

توالی بازی

درخت فیلوجنیک

گوسفند اوریال

گوسفند بلوچی

مقدمه

آنزیم‌های ریبونوکلئاز (*RNase*) دارای نقش‌های بیولوژیکی متنوعی در سلول مانند دفاع میزبان^۱، فعالیت ضد توموری و مرگ فیزیولوژیکی می‌باشند، علاوه بر این کاربردهای بالقوه‌ای در آزمایشگاه‌های بیولوژیکی در فرایندهایی از قبیل استخراج *RNA* از پروتئین‌های توالی و ساختاری *RNA*، از بین بردن *DNA* پلاسمید خالص برای واکسیناسیون *DNA* و ژن درمانی دارند (Beintema 1990). نشخوارکنندگان که هضم مواد غذایی آن‌ها در سکوم اتفاق می‌افتد روزانه حجم بالای ریبونوکلئاز پانکراتیک (*RNase A*) از پانکراس Barnard 1969; Beintema et al. 1969; ترشح می‌کنند (Beintema 1990) و با توجه به فعالیت بیشتر ریبونوکلئازی *RNase A* نسبت به سایر *RNase*‌ها، امروزه نگاه ویژه‌ای به استفاده از این آنزیم برای اهداف انسانی شده است. به طوری که استفاده از این آنزیم به عنوان توکسین‌های بیولوژیک در طراحی نسل جدید داروهای ضد سرطان در حال بررسی است. عموماً این آنزیم‌ها به صورت متصل با آنتی‌بادی‌های مونوکولونال استفاده می‌شوند، به این صورت که *RNase A* کونژوگه شده به کمک آنتی‌بادی وارد سیتوپلاسم سلول هدف شده و ترانسکریپتوم درون سلول را به طور کامل می‌شکند (Forouharmehr et al. 2020). مشکل اساسی *RNase*‌های حیوانی داشتن اثرات جانبی از قبیل ایمونوژنیتی برای سلول‌های انسانی است، از این رو داشتن اطلاعات ساختاری نوکلئوتیدی از این ژن از منابع حیوانی حائز اهمیت است. در حقیقت با داشتن این اطلاعات، می‌توان مهندسی این آنزیم‌ها را در جهت کاهش تحریک ایمنی، در بدن انسان انجام داد. به طور کلی *RNase A* گوسفندی مانند سایر نشخوارکنندگان به شکل گستردگی توسط پانکراس ترشح می‌شود، علاوه بر این *RNase A* گوسفندی در ارگان‌ها و مایعات بدن مانند شیر، ادرار، سرم، مایع منی^۲، کلیه‌ها، وزیکول سیمینال^۳، غدد پستانی و غدد بزاقی نیز تولید می‌شود (Beintema et al. 1988).

مواد و روش‌ها

به تعداد ۵ نمونه خون از هر دو گونه گوسفند بلوچی و اوریال به میزان ۲۰ میکرولیتر در لوله‌های حاوی ماده ضد انعقاد خون به ترتیب از مرکز اصلاح نژاد عباس‌آباد مشهد و اداره محیط زیست استان خراسان رضوی جمع‌آوری شدند. سپس استخراج

¹ Host defense² Seminal plasma³ Seminal vesicles

آنالیز توالی نوکلئوتیدی ژن ریبونوکلئاز پانکراتیک...

Personal زنجیره‌ای پلیمراز روی ژل آگارز ۱ درصد رنگ‌آمیزی شده با ژل رد الکتروفورز شدند.

میزان ۵۰ میکرولیتر از محصولات PCR به همراه میزان ۵۰ میکرولیتر از آغازگرهای رفت و برگشت با غلظت ۱۰ پیکومول به منظور توالی‌یابی به شرکت ماکروژن کره جنوبی ارسال شدند. این نمونه‌ها با استفاده از دستگاه (ABI 3130) به روش اتوماتیک سانگر توالی‌یابی شدند. داده‌های حاصل از توالی‌یابی پس از دریافت به منظور تصحیح خطاهای توالی‌یابی با استفاده از برنامه ویرایش قرار گرفتند (Afsharian et al. 2018). جهت تعیین بالاترین همولوژی ژن *RNase A* از رویه بلاست نوکلئوتیدی تحت پایگاه NCBI (Sayers et al. 2011) استفاده شد. توالی‌های مورد توافق^۴ به دست آمده بر اساس معیار اکثربت، با استفاده از نرم‌افزار SEQMAN (Swindell and Plasterer, 1997) تعیین و در پایگاه اطلاعاتی NCBI ثبت شدند.

⁴ Consensus

DNA با استفاده از کیت استخراج DNA از خون دیاتوم (روسیه) مطابق با روش پیشنهادی کیت صورت گرفت.

به منظور تکثیر ۴۳۶۷ جفت باز ژن *RNase A* گوسفندی بر اساس توالی ژنوم مرجع گوسفند (نژاد رامبویه) موجود در پایگاه بانک جهانی ژن NCBI، با استفاده از نرم افزار ۵ Primer Premier هفت جفت آغازگر اختصاصی به صورت هم پوشان با مشخصات مندرج در (جدول ۱) طراحی شدند. واکنش زنجیره‌ای پلیمراز با استفاده از مستر میکس آمپلیکوون (دانمارک) در حجم نهایی ۲۰ میکرولیتر شامل ۵۰ نانوگرم DNA و ۵ پیکو مول از محلول آغازگرهای رفت و برگشت برای تکثیر هر قطعه هم پوشان انجام شد. برنامه حرارتی برای هر جفت پرایمر به صورت مجزا و اختصاصی به صورت؛ و اسرشت‌سازی در دمای ۹۴ درجه سانتی‌گراد برای ۳۰ ثانیه، اتصال در دمای (۶۰ درجه برای ۳۰ ثانیه برای جفت آغازگرهای ۵ و ۷) و (۶۵ درجه برای ۱۵ ثانیه برای جفت آغازگرهای ۱، ۲، ۳، ۴ و ۶)، تکثیر در دمای ۷۲ درجه برای ۴۰ ثانیه، یک مرحله و اسرشت سازی اولیه در دمای ۹۵ درجه سانتی‌گراد برای ۱۰ دقیقه و یک مرحله تکثیر نهایی در دمای ۷۲ درجه برای ۱۰ دقیقه) در دستگاه ترموسایکلر T-

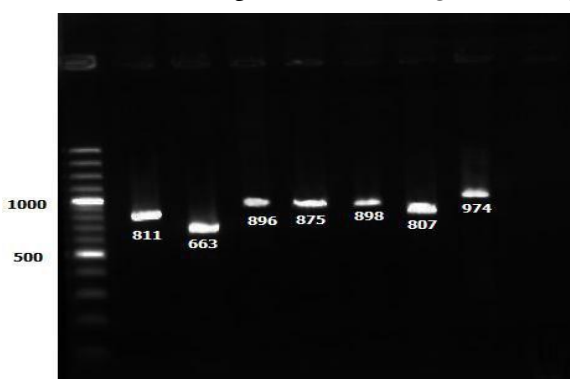
جدول ۱- پرایمرهای مورد استفاده در این مطالعه

جفت پرایمر	توالی آغازگرهای رفت و برگشت	موقعیت مکانی جفت پرایمرها	اندازه محصول (bp)
۱	For: 5'-GCCACAAAGGAAGCCCCAAGA-3'	۱۴۲-۱۲۳	۹۷۴
	Rev: 5'-TCCAGACCACAGTTGACAGAGC-3'	۱۰۹۶-۱۰۷۵	
۲	For: 5'-CCCAGGTAAGCAGCCCAAGAA-3'	۸۰۳-۷۸۳	۸۰۷
	Rev: 5'-ACCAGGACCAACAGTGACAACA-3'	۱۵۸۹-۱۵۶۸	
۳	For: 5'-CTCTGTAGGGAGTGGGAGTCAA-3'	۱۳۴۶-۱۳۲۵	۸۹۸
	Rev: 5'-GGAGCAAGTGTGGGTTGGATAG-3'	۲۲۲۲-۲۲۰۱	
۴	For: 5'-CCCTGTGTTCCCTGCCCTG-3'	۲۰۹۲-۲۰۷۳	۸۷۵
	Rev: 5'-CCGTGGAGCCTTGGTAGAGA-3'	۲۹۴۷-۲۹۲۷	
۵	For: 5'-TGGAAAGGACCTCAGGGATCAC-3'	۲۸۱۰-۲۷۸۹	۸۹۶
	Rev: 5'-TCTCAGCTCTAGGAGGGAGGGAA-3'	۳۳۸۴-۳۶۶۳	
۶	For: 5'-GCCAACAGTTGAGCAGTTCT-3'	۳۴۱۷-۳۳۹۶	۶۶۳
	Rev: 5'-GCAGCAGAACGCTGGAGTCT-3'	۴۰۵۸-۴۰۳۹	
۷	For: 5'-AGGACACCGAAAGGAAAGAGAT-3'	۳۹۳۲-۳۹۱۱	۸۱۱
	Rev: 5'-GGAAGACTATTGGCTGCTGGAA-3'	۴۷۲۱-۴۷۰۰	

bin/RNAWebSuite/RNAfold.cgi) ترسیم و داده‌های حداقل انرژی آزاد و انرژی آزاد ترمودینامیک بررسی شدند.

نتایج و بحث

پس از انجام واکنش زنجیره‌ای پلیمراز، الکتروفورز محصولات واکنش زنجیره‌ای پلیمراز روی ژل آگارز یک درصد نشان داد که هر ۷ قطعه مختص به توالی ژنی ریبونوکلئاز پانکراس گوسفندی ۴۳۴۷ جفت بازی با استفاده از پرایمرهای طراحی شده به صورت همپوشان به خوبی تکثیر شده‌اند (شکل ۱).



شکل ۱- الکتروفورز محصولات واکنش زنجیره‌ای پلیمراز، از سمت راست (قطعات ۱ تا ۷).

نتایج حاصل از توالی‌های به دست آمده مرتبط با قطعات تکثیر شده از لحاظ کیفیت توالی‌یابی برای هر باز مورد ارزیابی قرار گرفتند و نتایج نشان داد که تمامی خوانش‌ها برای تمامی نمونه‌ها از هر دو نژاد گوسفند بلوچی و اوریال با کیفیت بسیار بالایی صورت گرفته است. پس از زیرهم چینی و اس梅بل کردن خوانش‌های مربوط به هر قطعه، توالی مورد توافق برای گوسفند بلوچی و اوریال به کمک نرمافزار SEQMAN به دست آمد. در واقع مقایسه هم‌ردیفی‌های بین ژن RNase A پانکراتیک گوسفند بلوچی و گوسفند وحشی اوریال با ژنوم مرجع ژن RNase A گوسفند رامبوییه (XM_004010384) تشابه بالایی را نشان می‌دهد، هرچند که در برخی نقاط، تفاوت نوکلئوتیدی نیز مشاهده می‌شود. مقایسه‌ی هم‌ردیفی وجود اگزون یک و دو و همچنین ناحیه‌ی ترجمه شونده، نشان از توالی محافظت شده‌ی ناحیه‌ی ترجمه شونده^۱ CDS بین این سه نژاد برای این ژن می‌باشد. در

به منظور مقایسه داده‌های این مطالعه با دیگر مطالعات و همچنین ترسیم درخت فیلوژنی، از توالی‌های مرجع ثبت شده در بانک Dade NCBI استفاده شد. بدین منظور توالی‌های ژن RNase A مربوط به ۲۲ گونه از پستانداران دریافت شد. هم‌ردیف سازی در سطح نوکلئوتیدی به کمک الگوریتم Clustal (نسخه ۲ Larkin et al. 2007) صورت گرفت. رسم درخت فیلوژنیکی به کمک روش‌های مختلف بنا به شرایط، شامل نیبر-جوینینگ (Saitou Farris 1970; Fitch and Nei, 1987)، ماکسیمم پارسیمونی (Felsenstein, 1981) و استنباط بیزی بهبود یافته به کمک زنجیره مارکوف مونت کارلو (Yang and Rannala 1997) بود. ابزار مورد نظر در آنالیز نیبر-جوینینگ و پارسیمونی برنامه تجاری PAUP (نسخه 4 Sullivan and Sallak 2003) و برای دو آنالیز حداکثر درست‌نمایی و آنالیز بیزی به ترتیب Stamatakis (2006) RAxML (Lartillot et al. 2013) PhyloBayes MPI و دست‌یابی به پارامترهای بهینه، روش بوت استرپ (Stamatakis et al. 2008) ۱۰۰ گانه مکرر انجام شد. همچنین از شاخص‌های امتیاز حداکثر درست‌نمایی مقیاس شده و شاخص پایداری مقیاس شده (RC) (Farris 1989) نیز استفاده شد. فاصله ژنتیکی بر اساس توالی نوکلئوتیدی و همچنین توالی کدکننده پروتئینی مربوطه به RNase A انجام پذیرفت.

هم‌ردیفی توالی‌های خوانش شده برای ژن RNase A گوسفند بلوچی و وحشی اوریال با ژنوم مرجع ژن RNase A گوسفند رامبوییه با شماره دسترسی (XM-004010384) با سرور آنلاین MultiAlign (<http://multalin.toulouse.inra.fr/multalin/>) گرفت (Corpet 1988). همچنین شناسایی جایگاه اگزون، اینtron و ناحیه‌ی ترجمه شونده، جایگاه‌های وجود جهش (جا به جایی نوکلئوتیدی) و حذف نوکلئوتید نیز با استفاده از سرور آنلاین MultiAlign صورت گرفت.

به منظور بررسی تاثیر جهش‌ها در توالی ژنی ریبونوکلئاز پانکراتیک (به خصوص در اگزون ۲)، ساختار ثانوی توالی‌های mRNA برای ژن RNase A برای هر سه گونه گوسفند رامبوییه (ژنوم مرجع)، گوسفند وحشی اوریال و گوسفند بلوچی به کمک RNA Fold Web Server (<http://rna.tbi.univie.ac.at/cgi-bin/rna/fold.cgi>)

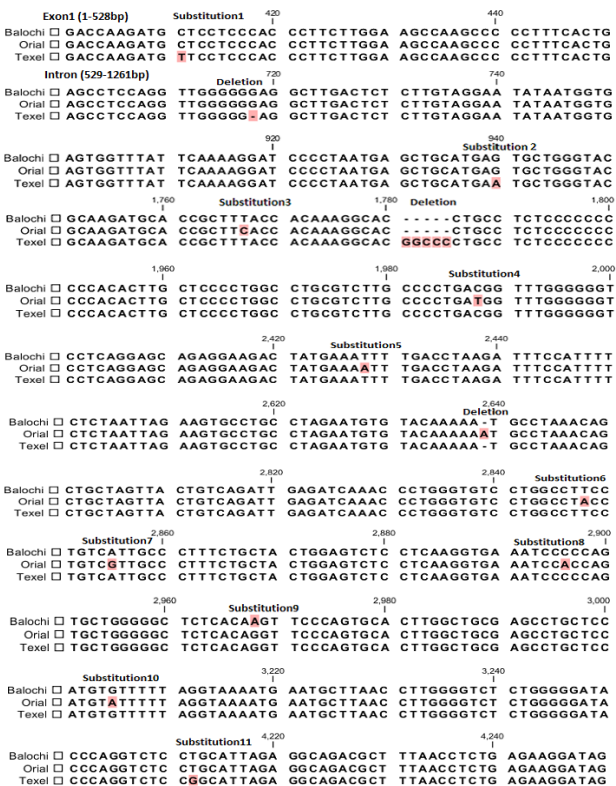
¹ from coding sequence

آنالیز توالی نوکلئوتیدی ژن ریبونوکلئاز پانکراتیک...

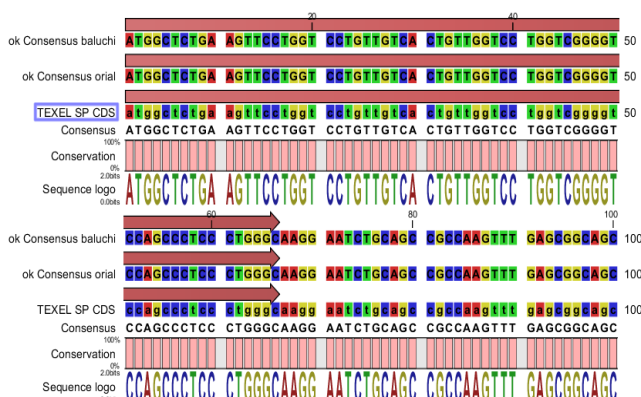
۱۸ تفاوت نوکلئوتیدی را با میزان مشابهت ۹۹/۶۱ درصد را نشان داد.

جدول ۲- موقعیت مکانی تفاوت‌های نوکلئوتیدی

	(bp)	بلوچی	اوریال	رامبویه
		Baluchi	Orial	Rambouillet
411	C	C	T	
718	G	G	-	
943	G	G	A	
1780-1785	GGCCC	-	-	
1767	T	C	T	
1988	C	T	C	
2428	T	A	T	
2639	-	A	-	
2848	T	A	T	
2858	A	G	A	
2899	A	C	A	
3205	G	A	G	
2968	A	G	G	
4212	T	T	G	



رامبویه، بلوچی و وحشی اوریال موقعیت نوکلئوتیدهای ۱۲۸۷ تا ۱۳۵۲ جایگاه سیگنال پیتید و همچنین نوکلئوتید ۱۳۵۰ تا ۱۷۲۷ در ناحیه اگزون یک این ژن توالی ترجمه شده به پروتئین CDS می‌باشد (شکل ۵). رونوشتبرداری توالی DNA به mRNA و برش توالی‌های بالادست و پایین دست نشان داد که توالی‌های مورد همراه با سیگنال پیتید شامل ۴۴۱ نوکلئوتید هستند. جایگاه سیگنال پیتید همان‌طورکه در شکل ۳ دیده می‌شود از نوکلئوتید ۱ تا ۶۶ در هر سه توالی یکسان بوده و نشان گذاری شده است.



شکل ۳- قسمتی از توالی ژن RNase A هم‌ردیف شده و ناحیه سیگنال پیتید (پیکان قرمز) از نوکلئوتید ۱ تا ۶۶.

جدول فواصل ژنتیکی با استفاده از توالی‌های به‌دست آمده برای گوسفند اوریال و بلوچی و همچنین با سایر توالی‌های نشخوارکنندگان از قبیل بز، گاو، شتر و غیره موجود در پایگاه داده NCBI مورد محاسبه قرار گرفت (شکل ۴). از آنجا که اعداد حاصل از فواصل ژنتیکی بین گونه‌های مختلف به صورت دو به دو است، در نتیجه این اعداد نمایانگر میزان جانشینی نوکلئوتیدها بین توالی‌های گونه‌های مورد بررسی می‌باشد و فاصله ژنتیکی بین دو گونه با همبستگی فیلوجنتیکی بین گونه‌ها مرتبط خواهد بود، در نتیجه این شاخص هم می‌تواند برای تعیین دوری و نزدیکی ژنتیکی گونه‌های مختلف مورد استفاده قرار گیرد. اگرچه توالی کدکننده ژن RNase A نشخوارکنندگان دارای شباهت بالای با یکدیگر هستند، اما نتایج این مطالعه نشان داد که توالی‌های بالا دستی و پایین دستی ژن دارای تفاوت‌های زیادی با یکدیگر هستند. در این میان گونه بز دارای فاصله ژنتیکی ۰/۰۱ با گونه گوسفندی و ۰/۰۶ سانتی‌مورگان با به RNase A گاوی است.

با وجود تشابهات بالای ژن کدکننده آنزیم RNase A در این سه گونه بیشتر تفاوت‌های گزارش شده مربوط به اگزون ۲ این ژن می‌باشد.

همچنین بیشتر تفاوت‌های ذکر شده در توالی ژنی ریبونوکلئاز پانکراتیسی نژاد اوریال دیده شده است که این نشانی از تکامل گوسفند وحشی اوریال به اهلی بوده است. مهم‌تر از همه یک حذف ۵ نوکلئوتیدی که در هر دو نژاد بلوچی و اوریال نسبت به نژاد رامبویه دیده شده است. در واقع این تفاوت‌ها ناشی از تفاوت‌های نژادی و ژنتیکی بین نژادهای اهلی و وحشی می‌باشد که در طی سالیان درازی ثبت شده‌اند. ناحیه ترجمه شونده به پروتئین (CDS) به شکل کاملاً محافظت شده در توالی‌های گوسفند‌های بلوچی، وحشی اوریال و رامبویه قرار گرفته‌اند ولی تفاوت‌های نوکلئوتیدی مشاهده شده در ناحیه اگزون ۲ ژن RNase A با توالی ژن مرجع رامبویه می‌تواند در تنظیم بیان ژن نقش و نحوه عملکرد پروتئین ترجمه شده نقش و تاثیر به‌سزایی داشته باشند.

توالی‌های قطعه ژنی تکثیر شده ژن ریبونوکلئاز به ترتیب با شماره دسترسی MG932658 برای نژاد اوریال و MG932659 برای نژاد بلوچی در پایگاه داده NCBI ثبت شده‌اند. میزان حداقل انرژی آزاد ساختار ثانویه بهینه mRNA ژن RNase A در نژاد رامبویه به میزان ۱۲۲۴/۲۰ - کیلوکالری/مول، گوسفند بلوچی به میزان ۱۲۱۶۰/۸۰ - ۱۲۲۳/۲۰ - کیلوکالری / مول و گوسفند اوریال کیلوکالری/مول به دست آمد. در نتیجه، عامل انرژی آزاد ساختار ثانویه mRNA ژن RNase A نژاد بلوچی و رامبویه به یکدیگر نزدیک‌تر هستند که حاکی از شباهت بالای این دو نژاد برای این پارامتر ساختاری mRNA می‌باشد، در حالی که سطح انرژی آزاد در نژاد وحشی اوریال تفاوت بیشتری نسبت به نژادهای اهلی مطالعه شده دارد. بنابراین با بررسی ظاهری ساختار ثانویه mRNA ژن RNase A در نژادهای اهلی مورد مطالعه و نژاد وحشی، شباهت بالایی را بین نژادهای اهلی و تفاوت با نژاد وحشی را می‌توان مشاهده کرد. تفاوت در موقعیت‌های نوکلئوتیدی ۱۸۲۰ تا ۲۰۷۰ ساختار ثانویه mRNA ژن RNase A تفاوت موجود در میان نژاد اهلی با وحشی اوریال را ثابت می‌کند. به‌دلیل هر سه توالی ژن RNase A هم‌ردیف شده نژادهای

آنالیز توالی نوکلئوتیدی ژن ریبونوکلئاز پانکراتیک...

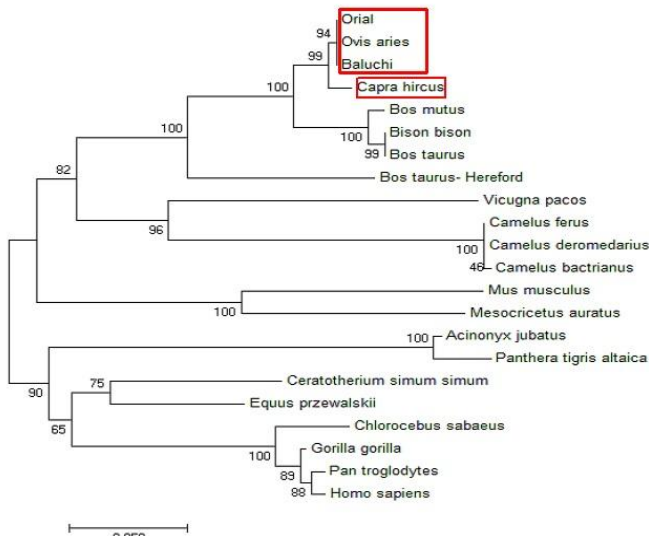
موجود است، اما با توجه به شباهت بالا در نواحی بالا دستی و پایین دستی همه زیرگونه‌های مختلف گاو در یک کlad قرار گرفته‌اند. همچنین در سایر نژادها (گاوی وحشی *Bos mutus* با گاوهای اهلی)، خانواده شترها، موش‌ها، گربه سانان، اسب با کرگدن و انسان با توالی ژنی ریبونوکلئاز مرتبط با گوریل و میمون‌ها با درصد تشابه بالایی در یک کlad قرار گرفته‌اند. مطالعه انجام شده (Premzl 2014) بر مبنای درصد تشابه و روابط فیلوجنزی خانواده آنزیم‌های ریبونوکلئاز در تطابق با مطالعه حاضر تائید کردند که آنزیم ریبونوکلئاز *RNase A* در انسان با pan troglodytes و میمون‌ها، خانواده اجدادی گاوهای و موش‌ها با هم مشابه هستند که ناشی از درصد تشابه بالای اجدادی ژنتیکی بین آن‌ها می‌باشد (Premzl 2014).

همچنین *RNase A* گونه گاوی داری فاصله ژنتیکی ۰/۰۶ سانتی‌مورگان با گونه گوسفندی و ۰/۳ سانتی‌مورگانی با نمونه *RNase A* انسانی است.

به منظور تأیید نتایج حاصل از ماتریس فواصل ژنتیکی (شکل ۴)، درخت فیلوجنتیک توالی‌های مربوط به گوسفند بلوچی و اوریال با سایر توالی‌های موجود در پایگاه NCBI با استفاده از نرم‌افزار مگا ۷ ترسیم شد (شکل ۵). همان‌طور که در شکل (۵) مشخص شده، هر دو گونه گوسفند نژاد بلوچی و اوریال با توالی ثبت شده برای نژاد رامبوییه همراه توالی ژنی ریبونوکلئاز پانکراتیک ثبت شده برای گونه بزر در یک کlad قرار گرفته‌اند و این به دلیل نزدیکی تشابه ژنتیکی گوسفندان و بزر از طریق مشابهت اجدادی بین این نژادها می‌باشد. همچنین نتایج نقشه فیلوجنتیکی ژن *RNase A* برای نژاد گاو نشان داد که اگرچه تفاوت‌های نوکلئوتیدی در این توالی‌ها

	1	2	3	4	5	6	7	8	9	10	11	12	13	14	15	16	17	18	19	20	21	
1. <i>Homo sapiens</i> <i>Homo sapiens</i> chromosome 1		0.07	0.08	0.07	0.08	0.07	0.08	0.08	0.01	0.07	0.08	0.08	0.05	0.08	0.08	0.01	0.08	0.09	0.01	0.08	0.07	
2. <i>Mus musculus</i> <i>Mus musculus</i> strain C57BL/		0.29		0.08	0.07	0.08	0.07	0.08	0.08	0.06	0.07	0.08	0.08	0.08	0.10	0.08	0.07	0.09	0.09	0.07	0.08	0.04
3. <i>Camelus ferus</i> <i>Camelus ferus</i> isolate Na...		0.33	0.33		0.07	0.07	0.07	0.08	0.08	0.07	0.00	0.08	0.08	0.10	0.00	0.08	0.10	0.06	0.08	0.07	0.09	
4. <i>Bison bison</i> <i>Bison bison</i> bison isolate		0.30	0.30	0.30		0.02	0.00	0.02	0.02	0.07	0.00	0.07	0.04	0.07	0.09	0.07	0.08	0.08	0.07	0.08	0.02	0.08
5. <i>Consenatus</i> <i>Consenatus</i>		0.30	0.31	0.30	0.06		0.02	0.00	0.01	0.07	0.02	0.07	0.03	0.06	0.08	0.07	0.08	0.08	0.07	0.07	0.00	0.08
6. <i>Bos mutus</i> <i>Bos mutus</i> isolate yak QH1 un...		0.30	0.30	0.30	0.01	0.06		0.02	0.02	0.07	0.00	0.08	0.04	0.07	0.09	0.07	0.08	0.09	0.07	0.08	0.02	0.08
7. <i>Ovis aries</i> <i>Ovis aries</i> breed Texel chio...		0.31	0.32	0.30	0.06	0.00	0.06		0.01	0.07	0.02	0.08	0.04	0.07	0.09	0.07	0.08	0.08	0.07	0.07	0.00	0.08
8. <i>Capra hircus</i> <i>Capra hircus</i> breed San Cl...		0.33	0.31	0.32	0.06	0.01	0.06	0.02		0.08	0.02	0.08	0.04	0.07	0.09	0.08	0.08	0.08	0.07	0.08	0.01	0.08
9. <i>Gorilla gorilla</i> <i>Gorilla gorilla</i> gorill...		0.02	0.27	0.32	0.30	0.29	0.29	0.29	0.31		0.07	0.08	0.07	0.05	0.08	0.08	0.01	0.08	0.09	0.00	0.07	0.07
10. <i>Bos taurus</i> <i>Bos taurus</i> breed Hereford He...		0.30	0.30	0.30	0.00	0.06	0.01	0.06	0.06	0.30		0.07	0.04	0.07	0.09	0.07	0.08	0.08	0.07	0.08	0.02	0.08
11. <i>Camelus bactrianus</i> <i>Camelus bactrianus</i>		0.33	0.34	0.00	0.30	0.30	0.31	0.31	0.32	0.32	0.30		0.08	0.08	0.11	0.00	0.08	0.10	0.06	0.08	0.08	0.09
12. <i>Bos taurus</i> <i>Bos taurus</i> breed Hereford c...		0.31	0.32	0.30	0.16	0.15	0.15	0.15	0.29	0.16	0.31		0.07	0.11	0.08	0.08	0.10	0.08	0.08	0.08	0.04	0.08
13. <i>Ceratotherium simum</i> <i>Ceratotherium</i>		0.22	0.30	0.31	0.28	0.27	0.28	0.27	0.28	0.21	0.28	0.32	0.27		0.06	0.08	0.05	0.06	0.07	0.05	0.07	0.07
14. <i>Panthera tigris tigris</i> <i>Panthera tigris</i>		0.32	0.39	0.40	0.36	0.35	0.37	0.35	0.37	0.33	0.36	0.41	0.41	0.27		0.10	0.09	0.01	0.11	0.08	0.09	0.10
15. <i>Camelus dromedarius</i> <i>Camelus dromedarius</i>		0.33	0.33	0.00	0.30	0.30	0.30	0.30	0.32	0.32	0.30	0.00	0.30	0.31	0.40		0.08	0.10	0.06	0.08	0.07	0.09
16. <i>Chlorocebus sabaeus</i> <i>Chlorocebus sabaeus</i>		0.05	0.29	0.31	0.31	0.30	0.31	0.30	0.33	0.05	0.31	0.32	0.30	0.22	0.34	0.31		0.08	0.09	0.01	0.08	0.07
17. <i>Acinonyx jubatus</i> <i>Acinonyx jubatus</i> isol...		0.32	0.37	0.39	0.33	0.32	0.35	0.33	0.34	0.31	0.33	0.39	0.38	0.26	0.03	0.39	0.33		0.10	0.08	0.08	0.10
18. <i>Vicugna pacos</i> <i>Vicugna pacos</i> isolate Ca...		0.37	0.36	0.24	0.29	0.29	0.29	0.29	0.30	0.35	0.29	0.24	0.31	0.29	0.43	0.24	0.35	0.41		0.09	0.07	0.10
19. <i>Pan troglodytes</i> <i>Pan troglodytes</i> isolat...		0.01	0.29	0.33	0.31	0.30	0.30	0.30	0.32	0.01	0.31	0.33	0.30	0.21	0.32	0.33	0.05	0.32	0.37		0.07	0.07
20. <i>Consenatus</i> <i>Consenatus</i>		0.31	0.32	0.30	0.06	0.00	0.06	0.00	0.02	0.29	0.06	0.31	0.15	0.27	0.35	0.30	0.30	0.33	0.29	0.30		0.08
21. <i>Mesocicebus auratus</i> <i>Mesocicebus aurata...</i>		0.31	0.19	0.37	0.31	0.31	0.31	0.31	0.30	0.31	0.37	0.31	0.30	0.40	0.37	0.31	0.40	0.40	0.31	0.31		0.31

شکل ۴- ماتریس فواصل ژنتیکی بر مبنای توالی ژن *RNase A* گونه‌های مختلف پستانداران، مثلث پایینی فاصله ژنتیکی و بالایی استاندارد خطأ می‌باشد. مربع‌های قرمز نشان‌دهنده گونه‌های شاخص بررسی شده در این مطالعه می‌باشد.



شکل ۵- درخت فیلوجنتیکی مقایسه توالی ژن *RNase A* برای نژاد بلوچی و اوریال با سایر گونه‌های حیوانی وحشی و اهلی

بعدی آنزیم ریبونوکلئاز نیز پیش‌بینی و مشخص شد و همچنین جایگاه سیگنال پپتید نیز در توالی نشان‌گذاری شد، از طرفی نتایج این مطالعه نشان داد که *RNase A* گونه بزرگ دارای بیشترین شباهت با گونه گوسفندی است.

سپاسگزاری

این پژوهش با حمایت مالی معاونت پژوهشی دانشگاه فردوسی مشهد، گرنت شماره ۱۳۰۹۵۹/۲ انجام شد.

نتیجه‌گیری کلی

در این مطالعه پتانسیل زننده آنزیم *RNase A* گونه گوسفند اهلی و وحشی مورد بررسی قرار گرفت. اگرچه توالی نوکلئوتیدی آنزیم *RNase A* این دو گونه و در مقایسه با توالی مرجع در NCBI کاملاً با یکدیگر شباهت داشت، اما تفاوت‌های نوکلئوتیدی در بالادست و پایین دست ژن پیدا شد که این SNP‌ها با توجه به نزدیک بودن به نواحی تنظیمی، احتمالاً می‌توانند نقشی در تنظیم بیان ژن *RNase A* داشته باشد. شکل سه

منابع

- Afsharian A, Nassiri M, Javadmanesh A, Ebrahimie S (2018) Genetic diversity of Persian crocodile *Crocodylus palustris* using sequencing of D-Loop and Cyt b regions of mitochondria. Agricultural Biotechnology Journal 4: 17-38. (In Farsi)
- Barnard E (1969) Ribonucleases. Annual review of biochemistry 38: 677-732.
- Beintema J, Scheffer A, van Duk H, Welling G, Zwiers H (1973) Pancreatic ribonuclease distribution and comparisons in mammals. Nature New Biology 241: 76.
- Beintema JJ (1990) The primary structure of langur (*Presbytis entellus*) pancreatic ribonuclease: adaptive features in digestive enzymes in mammals. Molecular biology and evolution 7: 470-7.
- Beintema JJ, Schüller C, Irie M, Carsana A (1988) Molecular evolution of the ribonuclease superfamily. Progress in biophysics and molecular biology 51: 165-92.
- Corpet F (1988) Multiple sequence alignment with hierarchical clustering. Nucleic acids research 16: 10881-90.
- Forouharmehr A, Nassiri M, Ghovvati Roudsari S, Javadmanesh A (2020) Production and introduction of a novel immunotoxin based on engineered RNase A for inducing death to Her1-positive cell lines. Journal of Cellular Physiology 235:4679-4687.
- Farris JS (1970) Methods for computing Wagner trees. Systematic Biology 19:83-92.
- Farris JS (1989) The retention index and the rescaled consistency index. Cladistics 5: 417-9.
- Fitch WM (1971) Toward defining the course of evolution: minimum change for a specific tree topology. Systematic Biology 20: 406-16.
- Felsenstein J (1981) Evolutionary trees from DNA sequences: a maximum likelihood approach. Journal of molecular evolution 17: 368-76.

Larkin MA, Blackshields G, Brown N, Chenna R, McGgettigan PA, McWilliam H (2007) Clustal W and Clustal X version 2.0. *bioinformatics* 23: 2947-8.

Lartillot N, Rodrigue N, Stubbs D, Richer J (2013) PhyloBayes MPI: phylogenetic reconstruction with infinite mixtures of profiles in a parallel environment. *Systematic Biology* 62: 611-5.

Premzl M (2014) Comparative genomic analysis of eutherian ribonuclease A gene. *Molecular genetics and genomics* 289: 161-7.

Sayers EW, Barrett T, Benson DA, Bolton E, Bryant SH, Canese K (2011) Database resources of the national center for biotechnology information. *Nucleic acids research* 40: D13-D25.

Swindell SR, Plasterer T (1997) Sequence data analysis guidebook: Humana Press New York.

Saitou N, Nei M (1987) The neighbor-joining method: a new method for reconstructing phylogenetic trees. *Molecular biology and evolution* 4: 406-25.

Swofford DL, Sullivan J (2003) Phylogeny inference based on parsimony and other methods using PAUP*. The

Phylogenetic Handbook: A Practical Approach to DNA and Protein Phylogeny, cap 7:160-206.

Stamatakis A (2006) RAxML-VI-HPC: maximum likelihood-based phylogenetic analyses with thousands of taxa and mixed models. *Bioinformatics* 22(21): 2688-90.

Stamatakis A, Hoover P, Rougemont J (2008) A rapid bootstrap algorithm for the RAxML web servers. *Systematic biology* 57:758-71.

Yang Z, Rannala B (1997) Bayesian phylogenetic inference using DNA sequences: a Markov Chain Monte Carlo method. *Molecular biology and evolution* 14: 717-24.

Zamani W, Ghasempouri SM, Rezaei HR, Naderi S, Hesari ARE, Ouhrouch A (2018) Comparing polymorphism of 86 candidate genes putatively involved in domestication of sheep, between wild and domestic Iranian sheep. *Meta Gene* 17: 223-31.